

**Милица Р. Младеновић^{1*}, Милица Ј. Пајрића¹, Драгољуб В. Дакић²
Славан Ђ. Немодић¹, Александар М. Ерић¹, Мирко С. Комашинић³**

¹Лабораторија за термотехнику и енергетику,

Институт за нуклеарне науке „Винча”, Универзитет у Београду, Београд, Србија

²Иновациони центар Машинског факултета, Универзитет у Београду, Београд, Србија

³Машински факултет, Универзитет у Београду, Београд, Србија

Вертикални профил температуре у инсталацији за сагоревање отпадних горива са флуидизованим слојем

Оригинални научни рад

Овај рад је првилог испитраживању сагоревања чврстих и течних отпадних горива. У течна отпадна горива чије одлагање предсављају еколошки проблем убрајамо шалог из резервоара сирове нафтне као и коришћена јесеница/минерална уља и глициерин као нус-продукт ће производње биодизела. Поред штога, ове материје, због неуједначеног саспава и густине као и високог удела баласта, се не могу сагоревати у конвенционалним ложиштима, па је технологија погодна за њихову стопловитну дезинтеграцију флуидизованим слојем јер омогућава сагоревање најразличитијих врста горива неуниформног саспава. У чврсту отпадну горива убрајамо и ванбилиансне резерве угља (ситне гранулације, са високим садржајем минералних материја и ниском стопловитном мочи) које је по потреби користији рационалније, што оне поједно разумева примену ложишта са флуидизованим слојем. У којловима са флуидизованим слојем могу се сагоревати чврста горива са 85% инертних материја, са ефикасним одсуштавањем додавањем кречњака директно у ложиште, са ниском емисијом NO_x, што овој технологији даје значајну предност у поређењу са другим технологијама сагоревања.

У раду је даји опис експерименталне инсталације, као и резултати експеримената, са нагласком на расподелу температуре по висини ложишта, у циљу одређивања зоне интензивног сагоревања у зависности од карактеристика горива.

Кључне речи: течна отпадна горива, нисковредни угљеви,
флуидизовани слој

Увод

Са тачке гледишта потреба за уклањањем отпадних и непотребних материја из процеса производње, привреда Србије исказује потребу за уклањањем и искоришћавањем различитих материјала попут: одсева угља из више рудника са подземном експлоатацијом, ванбилиансних резерви угља, талога из резервоара за сирову

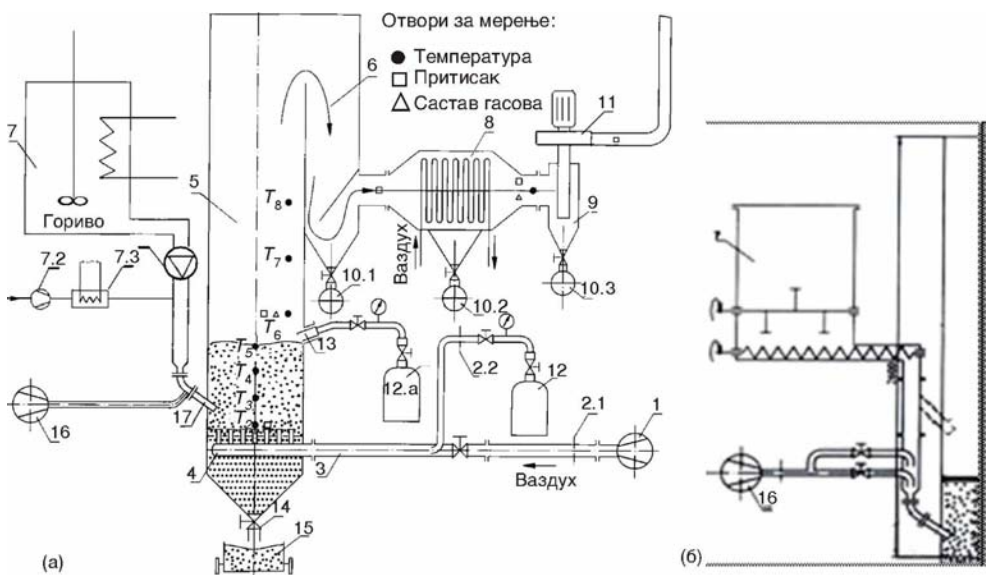
* Одговорни аутор; електронска адреса: mica@vinca.rs

нафту у рафинеријама, талог из резервоара мазута и горива на бензинским пумпама, запрљаног глицерина из производње биодизела, искоришћење истрошених уља из ваљаонице итд. Предмет овог рада је термичка дезинтеграција ових отпадних материја у флуидизованом слоју (ФС) уз искоришћење енергетских ефеката, а у складу са нормама о заштити животне средине.

У раду је дата анализа резултата сагоревања у флуидизованом слоју (ФС) више врста течних горива: уља, глицерина, отпадних масти из хладне ваљаонице железаре у Смедереву, нафтног муља из рафинерије нафте у Панчеву и ситних гранулација угља Лубница као репрезента сагоревања чврстог отпадног горива у ФС. Акцепт је овом приликом стављен на промену температуре по висини ложишта у зависности од карактеристика горива.

Опис експерименталне инсталације

Експериментална инсталација (сл. 1) је димензионисана, пројектована и изграђена на такав начин да се резултати истраживања могу употребити као пројектни параметри за реална постројења за сагоревање течних или чврстих горива.



Слика 1. Шема експерименталне инсталације са системом за дозирање горива

(1) – дувачка промарној ваздуха, (2.1–2.2) мерни отвори, (3) – електрични грејач, (4) – комора за дисперзијом ваздуха, (5) – ложиште са флуидизованим слојем (1. промаја), (6) – комора за издавање честица (2. промаја), (7) – систем за дозирање горива: (а) пневматични – 7.1 јумпа за дозирање, 7.2 – дувачка за носећи ваздух, 7.3 – грејач носећег ваздуха; (б) чврсто – јужни дозатор и дувачка за ваздух; (8) – хладњак димног гаса, (9) циклонски сепаратор честица, (10.1–10.3) – посуде за одлагање честица, (11) – венцел-бутилатор димног гаса са фреквенитетним регулатором, (12.a) – боча пропан-бутилана, (13) – горионик за пошталу, (14) – венцел за издавање материјала слоја, (15) – посуда за сакупљање материјала слоја, (16) – дувачка за хлађење ваздуха млаузнице, (17) – млаузница

Гориво се уводи у инсталацију преко система за дозирање (7) кроз цевну млазницу (17) у ФС. Ваздух се уводи кроз дистрибутор гаса (4). Димни гасови догоревају у простору изнад ФС. Материјал слоја је кварцни песак средњег пречника 0,8 mm, и насыпне густина 1310–1585 kg/m³. Висина слоја се кретала од 323–400 mm у различитим радним режимима.

Најкрупније честице пепела које нису остале унутар ФС уклањају се из струје димног гаса одмах након изласка из ложишта (10.1). Потом димни гасови пролазе кроз хладњак (размењивач топлоте хлађен ваздухом) (8), испод чега се, такође уклањају честице и сакупљају у суду (10.2). Најситније честице се уклањају из струје димног гаса у циклону (9). Димни гасови из којих су уклоњене честице се избацују у атмосферу деловањем вентилатора димног гаса. Више о експерименталној апаратури могуће је наћи у [1–5].

Испитивање подобности испитиваних горива за сагоревање у ФС

Испитивана горива:

- отпадно јестиво уље,
 - глицерин-нуспродукт производње биодизела,
 - истрошена уља и масти из погона хладне вальаониц,
 - талог из рафинерије нафте Панчево, и
 - ситне отпадне гранулације угља Лубница,
- сагоревана су у ФС у стационарним режимима.

Испитивање сагоревања јестивог уља, при различитим дубинама урањања млазнице (90 и 130 mm)

Да би се дефинисали параметри сагоревања и дубина урањања млазнице дозатора, експерименти су најпре извођени с јестивим уљем. Јестиво уље је изабрано за тзв. модел гориво зато што, за разлику од других испитиваних горива, нема механичке и друге нечистоће и мање је вискозно од реалног течног горива, те се лако дозира. Поред тога јефтиније и лако доступно. Реални услови су симулирани додањем воде у модел гориво (табл. 1.)

Таблица 1. Техничка и елементарна анализа сунцокретовог уља

ДТМ [MJkg ⁻¹]	37,1	C[%]	77,6
Влага [%]	0,1	H [%]	11,5
Пепео [%]	0	S [%]	0
Испарљиво [%]	99,17	N [%]	0
Неиспарљиво [%]	0,73	O [%]	10,9

Праћена су три стационарна режима сагоревања модел горива, за различите дубине млазнице у ФС и за различит састав модел горива, које је мењано додавањем воде у уље, и то:

Режим I – Сагоревање горива при мањој дубини урањања млаznице у ФС ($0,6 H_o = 130$ mm од врха печурки дистрибутора ваздуха; H_o – висина активног дела насугог слоја),

Режим II – Сагоревање горива при већој дубини урањања млаznице у ФС ($0,7 H_o = 90$ mm од врха печурки дистрибутора ваздуха), и

Режим III – Сагоревање смеше горива и воде при већој дубини урањања млаznице у ФС ($0,7 H_o = 90$ mm од врха печурки дистрибутора ваздуха).

Приликом мерења, континуално је праћена температура у слоју и изнад њега по висини ложишта, као и паралелна гасна анализа.

У свим режимима добијено је стабилно сагоревање, уз средњу температуру у слоју 850–900 °C, која би се усталила врло брзо након отпочињања процеса. Постигнута је веома повољна емисија [6] продуката сагоревања, са веома ниским садржајем угљен-моноксида (табл. 2).

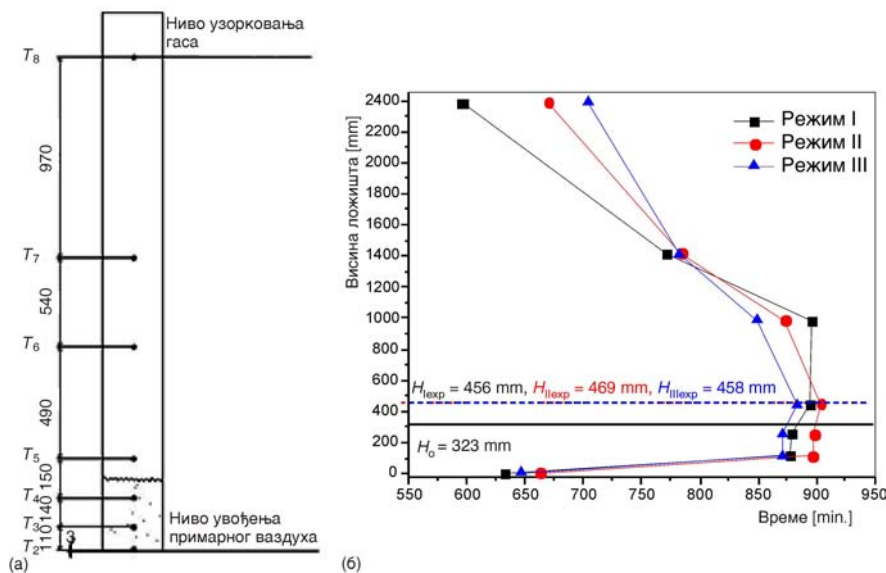
**Таблица 2. Радни параметри експерименталног ложишта
са ФС за сагоревање јестивог уља**

Режим	Проток горива [lh^{-1}]	Температуре активног дела ФС [°C]				Састав гаса						λ	Проток примарног ваздуха [lh^{-1}]	Проток секундарног ваздуха [lh^{-1}]	v_f [ms^{-1}]	H_{\exp} [mm]
		T_2	T_3	T_4	T_5	CO_2 [%]	O_2 [%]	CO [ppm]	SO_2 [ppm]	NO [ppm]	NO_2 [ppm]					
I	4,2	633	877,9	879,3	894,8	6,84	12,62	178,28	0,03	12,39	0	2,52	116580	2410	1,52	456
II	3,4	663,3	898,3	899,2	904,9	5,1	14,95	16,18	0,0	12,18	0	3,49	122865	2300	1,62	469
III	3,6	645,8	870,8	870,8	883,6	4,73	15,32	2,08	0,0	10,37	0,0	3,37	118780	2500	1,53	458

Како се са дијаграма види (сл. 2), температуре у слоју су скоро исте за сва три радна режима, што указује на добру организацију сагоревања у слоју. Температура непосредно уз слободну површину експандираног слоја T_5 се не разликује много од температура T_3 и T_4 у слоју што указује на то да се зона интензивног сагоревања налази у слоју, чиме се постиже стабилан процес.

Утврђено је да дубље урањање млаznице у ФС даје стабилније одвијање процеса, повлачење зоне интензивног сагоревања дубље у слој и смањење догоревања изнад слоја (сл. 2). Стога је овај положај млаznице усвојен за испитивање у режиму сагоревања емулзије горива и воде.

Емулзија, у односу 3,5 l течног горива и 1 l воде (при приближно истом протоку ваздуха за флуидизацију као за чисто модел гориво), дала је такође стабилан режим са веома сличним температурским профилом, али са нешто нижим температурама, при сличном вишку ваздуха, као код режима II. Ниже температуре су логична последица повећаног садржаја баласта-влаге и стога, смањења топлотне моћи горива унетог у слој.



Слика 2. Средња температура по висини ложишта:
(a) за све радне режиме, (б) позиција термошарова у ФС ложишту
(слику можете видети у електронској верзији у пуном колору)

Висина експандираног слоја, тј. зона распрскавања мехурива је одређена на основу једначине експанзије ФС (1) [7]:

$$\frac{H}{H_{mf}} = \frac{1 - \varepsilon_{mf}}{1 - \varepsilon} \frac{\rho_{mf}}{\rho_\varepsilon} \quad (1)$$

$$\varepsilon = \frac{18P\varepsilon}{Ar} \frac{0,36 Re^2}{\varepsilon}^{0,21} \quad (2)$$

при чему је: $Re = v_t d_p / v_f$ – Рејнолдсов број за честице, [-]; $Ar = gd_p^3 \rho_f (\rho_p - \rho_f) / \mu_f^2$ – Архимедов број, [-]; $d_p = 0,8 \text{ mm}$ – пречник честице, [m]; $\varepsilon_{mf} = 1 - (\rho_b / \rho_p) = 0,454$ – порозност слоја за режим минималне флуидизације, [-]; $\rho_p = 2400$ – густина честица [kg m^{-3}].

Испитивање сагоревања истрошених уља и масти из хладне ваљаонице

Испитивано гориво – истрошена уља и масти из хладне ваљаонице – сагревана су у ФС у три стационарна режима:

Режим I – гориво у доставном стању, без додавања воде,

Режим II – однос горива и воде 60:40%, и

Режим III – однос горива и воде 50:50%.

Дубина урањања млазнице је $0,7 H_o$ (120 mm од врха печурки дистрибутора ваздуха). Материјал слоја чини кварцни песак средњег пречника 0,8 mm, насыпне

густине 1585 kg/m^3 . Висина слоја је 371 mm. Гориво је хомогенизовано константним мешањем електричном мешалицом загрејано до 70°C (табл. 3).

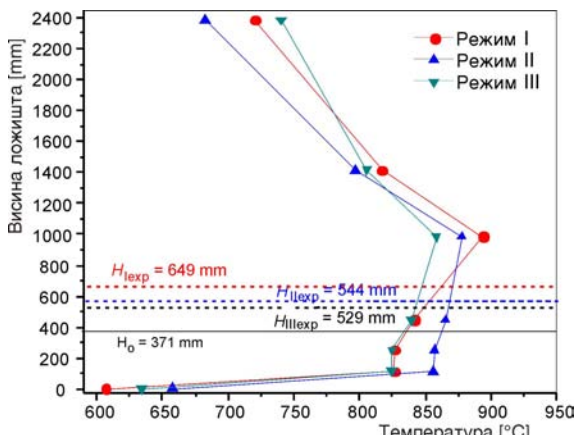
Таблица 3. Техничка анализа истрошених уља и масти из хладне ваљаонице

Гориво	Истрошена уља и масти
Влага [%]	13,21
Пепео [%]	2,27
Укупни сумпор [%]	0,72
Неиспарљиво [%]	2,78
Фиксни С [%]	0,51
Испарљиво [%]	84,01
Сагорљиво [%]	84,52
ГТМ [kJkg^{-1}]	32133
ДТМ [kJkg^{-1}]	29516*

* Доња топлотна моћ је израчуната на основу елементарне анализе мазута, који се може сматрати најсличнији испитиваним гориву

Како се са дијаграма види (сл. 3), за све режиме температуре у слоју T_3 и T_4 су скоро исте што указује на добру организацију сагоревања у слоју. Температура непосредно уз слободну површину експандираног слоја T_5 се не разликује много од температура T_3 и T_4 у слоју за сва три режима, али је ипак виша (посебно за први режим), што значи да мехурни испуњени смешом горива и ваздуха напуштају слој пре потпуног сагоревања горива. То значи да се зона интензивног сагоревања налази непосредно изнад слоја за све радне режиме, што и јесте карактеристика горива са високим садржајем волатила тј. испаривих сагорљивих материја. Тренд да течна високо волатилна горива, нагло испарају при уласку у загрејан ФС и брзо пролазе кроз слој без адекватног мешања са ваздухом с последицом премештања зоне сагоревања из слоја на зону изнад слободне површине ФС, је констатован у радовима више аутора [8–13].

Поређењем температурских профилса за све режиме, види се да смањивање брзине флуидизације и мешање горива са водом утиче на смањивање разлика температура у слоју и непосредно изнад слоја. Могући разлог за уједначеније сагоревање горива помешаног с водом је боље расправљавање при изласку из млазнице због нагле експанзије водене паре при уласку у загрејани ФС. Други могући разлог, наведен од више аутора [14–17], је да се мешањем горива са водом продужава време деволатилизације, јер повећани садржај влаге одлаже тренутак издвајања гасова.



Слика 3. Средња температура по висини ложишта, за све радне режиме
(слику можете видети у електронској верзији у пуном колору)

Другим речима, мешањем горива са водом и практично се продужава време боравка пара горива у слоју (резидентно време),

остварује се боље мешање са кисеоником па мање волатила напушта слој пре потпуног сагоревања.

Садржај CO је у свим случајевима знатно нижи од стандардом дозвољених референтних вредности, а такође и за NO, изузев у режиму II и III (табл. 4). У овим експериментима, због квазиконтинуалног дозирања горива (проток горива је регулисан непосредним искључивањем и укључивањем пумпе за дозирање), јављају се пикови у емисији NO_x . У реалним условима, када је доток горива константан и λ мање, и концентрација NO ће бити мања.

**Таблица 4. Радни параметри експерименталног ложишта
са ФС за сагоревање истрошених уља и масти**

Режим	Проток горива [kg h^{-1}]	Температуре активног дела ФС [°C]				Састав гаса						λ	Проток примарног ваздуха [l h^{-1}]	Проток секундарног ваздуха [l h^{-1}]	v_f [m s^{-1}]	H_{exp} [mm]
		T_2	T_3	T_4	T_5	CO_2 [%]	O_2 [%]	CO [ppm]	SO_2 [ppm]	NO [ppm]	NO_2 [ppm]					
I	4,18	607	826	826,6	841	7	11,8	<63	0	12	0	2,29	131295	2780	1,63	649
II	5,26	657,8	855,9	856,7	864,9	5,46	14,1	0	0	55	0	3,08	75817	1800	0,97	544
III	6,33	634,6	824,3	825	839,6	5,06	14,7	0	0	42	0,0	3,35	68141	1800	0,85	529

Истришивање нафтног муља

Испитивано гориво – муљ из резервоара сирове нафте помешан је с водом у односу 40:60. Материјал слоја био је кварцни песак средњег пречника 0,8 mm насыпне густине 1475 kg/m^3 , а висина слоја 323 mm. Дубина урањања млазнице је $0,7 H_o$ (93 mm од врха печурки дистрибутора ваздуха). Мешавина муљ/вода је хомогенизована мешањем електричном мешалицом и загрејана до 85°C (табл. 5).

У изабраном узорку оригиналног горива (талога из нафтних резервоара) било је 45,77% масеног удела воде и 23,37% масеног удела пепела, али због потешкоћа са дозирањем узорак је мешан са додатном количином воде. Додато је 60% воде на укупну масу горива, тако да су ефективни масени удељи влаге и пепела у гориву које је дозирано у ложиште, били: 78,31% и 9,35%, респективно.

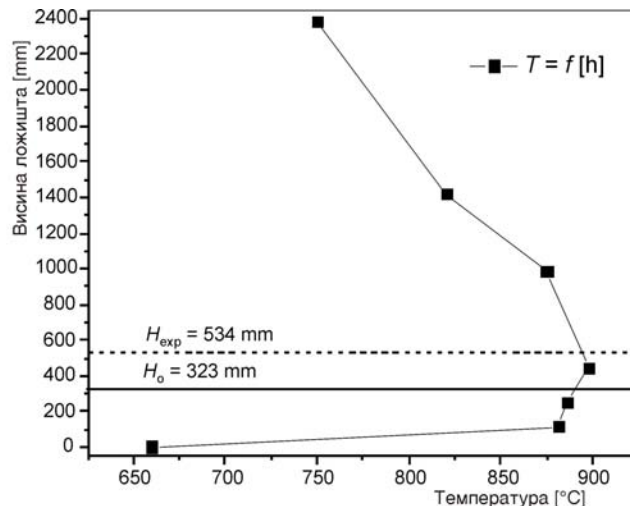
**Таблица 5. Техничка анализа муља
из резервоара сирове нафте**

Гориво	Истришена уља и масти
Влага [%]	45,77
Пепео [%]	23,37
Укупни сумпор [%]	2,20
Неиспарљиво [%]	25,14
Фиксни C [%]	1,17
Испарљиво [%]	29,09
Сагорљиво [%]	30,86
ГТМ [kJ kg^{-1}]	11417
ДТМ [kJ kg^{-1}]	11260

Талог из резервоара сирове нафте у мешавини с водом је врло тешко сагоревати без подршке додатног висококалоричног горива, чак и у ФС. Због тога је у ложиште додата смеша пропана и бутана као подршка сагоревању датог горива са високим садржајем воде (табл. 6). Ова смеша тешког течног горива и гаса је стабилно сагоревала, а у стационарним условима су забележене усредњене вредности приказане у таблици. Као што се види, смеша нафтног муља и гаса, са ефективним садржајем воде од 67,51% масеног удела воде и 8,06% масеног удела пепела стабилно сагорева на температурама око 900 °C, уз веома ниску концентрацију CO* у

Таблица 6. Радни параметри експерименталног ложишта са ФС за сагоревање талога из резервоара сирове нафте

Масени прототок горива [kg h ⁻¹]	Температуре активног дела ФС [°C]				Састав гаса				λ	Прототок примарног ваздуха [lh ⁻¹]	Прототок секундарног ваздуха [lh ⁻¹]	v_f [ms ⁻¹]	H_{exp} [mm]
	T_2	T_3	T_4	T_5	CO ₂ [%]	O ₂ [%]	CO [%]	SO ₂ [%]					
13,7 муљ + вода; 2,61 гас	660	882	886	898	5,04	12,77	0,04	<0,01	2,57	128133	2650	1,68	534



Слика 4. Средња температура по висини ложишта

продуктима са горевања. Са дијаграма (сл. 4) се такође види да се сагоревање одвија унутар слоја. За разлику од претходног случаја температура у зони запљускивања слоја T_5 је виша од температуре T_6 знатно изнад слоја, што указује да је зона сагоревања лоцирана у слоју и зони распружавања међурова. Мешање овог горива с водом има исти ефекат на побољшање распружавања горива на излазу из млазнице у ФС продужење резидентног времена као и у претходним случајевима.

* Уредба о граничним вредностима емисије загађујућих материја у ваздуху („Службени гласник РС”, број 71/2010), 4. октобар 2010.

Упоредно исушивање сагоревања уља и глицерина

Главни нуспроизвод производње биодизела је глицерин (од полазне сировине за добијање биодизела, нпр. искоришћених јестивих уља, 10% масених отпада на глицерин). Већа потражња за биодизелом може довести до презасићености тржишта глицерином па се и он може третирати као отпад и користити као „алтернативно“ гориво, стога је и овој врсти течног горива посвећена пажња у раду.

Материјал слоја чини кварцни песак $d_{sr} = 0,8 \text{ mm}$, насыпне густине 1475 kg/m^3 , висина слоја је $H_o = 323 \text{ mm}$. Дубина урањања млазнице је $0,7 H_o = 93 \text{ mm}$ од врха пећурки дистрибутора ваздуха).

На сл. 5 је дат распоред температуре по висини ложишта, а у табл. 7 је дата карактеризација горива – уља и глицерина из које се види да глицерин има знатно нижу топлотну моћ од уља.

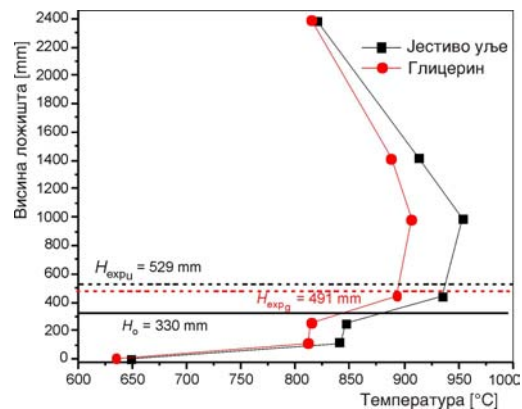
Из дијаграма на сл. 5. може се уочити увлачење зоне сагоревања у слој приликом прелаза са уља на глицерин и смањење разлика између температуре у слоју и непосредно изнад њега (T_3, T_4, T_5, T_6), при сличном вишку ваздуха (табл. 8). Одавде следи да глицерин има знатно боље физичко-хемијске карактеристике за сагоревање у ложишту са ФС од уља, јер лакше испарава и боље се меша са честицама загрејаног инертног материјала ФС.

Исушивање нисковредних фракција угља Лубница у ФС

Млевени угљ (0 < d mm) је пневматски дозиран у ФС. Укупна активна висина фиксног ФС била је 400 mm. Дубина урањања млазнице је 0,6 H_o (150 mm од врха пећурки дистрибутора ваздуха). Експерименти су рађени на две температуре ФС:

Режим I – температура слоја 850–860 °C, и

Режим II – температура слоја 820–830 °C.



Слика 5. Средња температура по висини ложишта
(слику можете видети у електронској верзији у пуном колору)

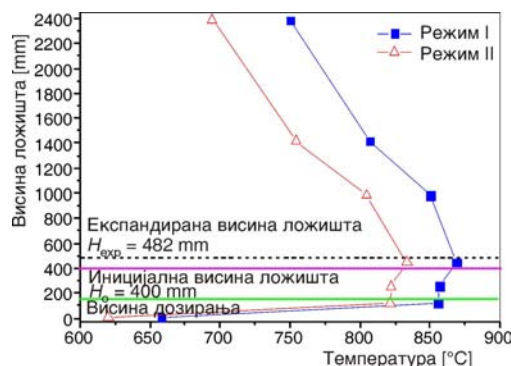
Таблица 7. Техничка и елементарна анализа

Гориво	Сунцокретово уље	Глицерин
Влаге [%]	0,1	–
Неиспарљиво [%]	0,73	–
Испарљиво [%]	99,17	–
ДТМ [kJkg^{-1}]	37,1	17
C [%]	77,6	39,1
H [%]	11,5	8,7
S [%]	0	–
N [kJkg^{-1}]	0	–
O [kJkg^{-1}]	10,9	52,2

Таблица 8. Радни параметри експерименталног ложишта са ФС за сагоревање глицерина

Масени проток горива [kg h^{-1}]	Температуре активног дела ФС [°C]				Састав гаса				λ	Проток примарног ваздуха [l/h]	Проток секундарног ваздуха [l/h]	v_f [m s^{-1}]	H_{\exp} [mm]		
	T_2	T_3	T_4	T_5	CO_2 [%]	O_2 [%]	CO [ppm]	SO_2 [ppm]	NO_x [ppm]						
Сунцокретово уље	4,12	649,3	840,9	842,9	935,3	5,52	13,76	—	—	0	2,79	121402	2480	1,56	529
Глицерин	7,92	634,4	811,3	813,4	893,2	6,11	14,8	—	—	0	2,9	102183	2480	1,28	491

На сл. 6 је дат распоред температуре по висини ложишта при сагоревању ситних гранулација угља Лубница, а у табл. 9 је дата карактеризација овог горива.



Слика 6. Средња температура по висини ложишта
 (слику можете видети у електронској верзији у пуном колору)

Регулација температуре ФС у оба радна режима извођена је преко заустављања дозирања горива у кратким интервалима. Лако је приметити да су температуре T_3 и T_4 скоро идентичне током целог истраживања (T_{3cp} , T_{4cp}), и температура T_5 непосредно испод површине слоја је незнатно виша од температуре у самом слоју (сл. 6. и табл. 10), што указује да се интензивно сагоревање одвија у слоју или у зони распршивања мехурова тзв. *splash* зоне.

Као што се види из приказаних резултата мерења у табл. 10, концентрација CO у димном гасу била је знатно нижа од највиша законом дозвољене ($\text{CO} \ll 250 \text{ mg/m}^3$)

Таблица 9. Техничка и елементарна анализа угља Лубница у доставном стању

Влага [%]	30,81
Пепео [%]	16,16
Укупни сумпор [%]	1,68
Неиспарљиво [%]	40,32
Фиксни C [%]	24,16
Испарљиво [%]	28,87
Сагорљиво [%]	53,02
ДТМ [%]	13625
C [%]	36,58
H [%]	2,48
S [%]	1,20
N [%]	0,97
O [%]	11,79

**Таблица 10. Радни параметри експерименталног ложишта
са ФС за сагоревање угља Лубница**

Режим	Масени проток горива [kgh^{-1}]	Температуре активног дела ФС [$^{\circ}\text{C}$]				Састав гаса				λ	Проток примарног ваздуха [l/h]	Проток секундарног ваздуха [l/h]	v_f [ms^{-1}]	H_{\exp} [mm]	
		T_2	T_3	T_4	T_5	CO_2 [%]	O_2 [%]	CO [ppm]	SO_2 [ppm]						
I	7,77	658,3	855,7	856,4	868,7	7,9	13,8	20,2	940	385	2,91	73419	15128	1,94	482
II	8,00	620,4	821,4	822,3	833,6	7,1	13,9	10,1	730	406	2,96	76041	15128	0,94	481

[6]. То, такође, указује да су губици услед несагорелог у димном гасу занемарљиви. Садржај несагорелог у летећем пепелу је, такође, занемарљив [4].

Коментар квантитета сагоревања, са аспекта испуњавања захтева закона о заштити околине, је донекле мање повољан. Концентрација SO_2 далеко премашује највише дозвољене границе. Током експеримената показано је да се концентрације и емисија SO_2 може релативно једноставно снизити додавањем кречњака у слој. Додатно, концентрација азотних оксида у димном гасу је била виша од очекиване за ту технологију сагоревања. Основни разлог за то био је висок ниво вишке ваздуха током експеримената, због метода регулације дозирања горива. У реалним условима у котловима са ФС очекује се нижа концентрација NO_x . У сваком случају, треба наћи начин за додатно снижавање концентрације азотних јединења у димном гасу, додавањем амонијака, рециркулацијом димних гасова или на неки други начин.

Закључак

На основу изложених резултата испитивања неколико горива, која су се разликовала по саставу и стању, могу се извући следећи закључци.

Течна горива са високим садржајем волатила показују тенденцију да сагоревају изнад слоја, или у близини слободне површине – па се зато препоручује већа висина флуидизованог слоја, дозирање „у слој” и мањи степени флуидизације.

Параметри сагоревања се побољшавају при дубљем урањању млаузнице у слој.

Мешање течног горива с водом не само да олакшава дозирање, већ и доводи до померања зоне интензивног сагоревања према средишњем делу слоја, уз смањење емисије CO.

Због велике вискозности и лаког стишњавања нафтног муља у линији за дозирање неопходно је његово мешање са водом и грејање линије за дозирање (што је потребно и код дозирања истрошених уља из валаонице). Како је садржај укупног баласта у гориву у наведеном случају велики, потребна је подршка сагоревања пропан бутаном или неким другим висококалоричним горивом.

Приликом сагоревања нискоквалитетних фракција угља Лубница остварује се мања разлика температура у слоју и изнад слоја, али и већа емисија SO_x и NO_x него у случају сагоревања течних горива наведених у овом раду. Проблем емисије SO_x

гасова лако се решава додавањем кречњака у слој, односно амонијака или рециркулацијом димних гасова у случају повећане емисије NO_x .

Посматрање пламена кроз ревизиони отвор ложишта потврдило је постојање интензивног мешања у слоју приликом свих испитивања, како и добре испуњености пламена по запремини ложишта, што указује да је остварена оптимална кинетика процеса термичке разградње испитиваних горива.

Захвалиност

Овај рад је реализован у оквиру пројекта „Унапређење индустријског постројења са флуидизованим слојем у оквиру развоја технологије за енергетски ефикасно и еколошки обравдано сагоревање различитих отпадних материја у флуидизованом ложишту”, Пројекат ТР33042 Министарства просвете и науке Републике Србије.

Ознаке

Ar	– Архимедов број, [-]
d_p	– пречник честице, [m]
H	– висина флуидизованог слоја, [m]
H_{nf}	– висина флуидизованог слоја за минималну брзину флуидизације, [m]
Re	– Рејнолдсов број за честице, [-]
v_f	– кинематска вискозност флуида (газа), [m^2s^{-1}]
ε	– порозност, [-]
ε_{mf}	– порозност слоја за режим минималне флуидизације, [-]
ρ_{mf}	– густина слоја за режим минималне флуидизације, [kgm^{-3}]
ρ_e	– густина флуидизованог слоја, [kgm^{-3}]

Литература

- [1] Nemoda, S., et al., Numerical Model of Gaseous Fuel Jet Injection into a Fluidized Furnace, *International Journal of Heat and Mass Transfer*, 52 (2009), 15-16, 3427-3438
- [2] Младеновић, М., и др., Експерименти сагоревања различитих течних горива у ложишту са флуидизованим слојем, *Зборник радова на комитаку диску*, 14. симпозијум термичара Србије „Енергија, екологија, ефикасност”, Сокобања, 13-16. октобар 2009, ИСБН 978-86-80587-96-7, 585-592
- [3] Младеновић М., и др., Експерименти сагоревања различитих течних горива у ложишту са флуидизованим слојем, *Термотехника*, 36 (2010), 1, 133–142
- [4] Mladenović, M., et al., Fluidized Bed Combustion of Low Grade Fractions of Lubnica Coal, *Book of Abstract on CD*, “Power Plants 2010”, Vrnjačka Banja, Serbia, October 26-29, 2010, e2010.drustvo-termicara.com/papers/download/92.
- [5] Mladenović, M., et al., Technology Application in Fluidized Bed Combustion of Coal’s Low Grade Fractions and Off-Balance Reserves, *Book of Abstract*, 3rd International Symposium “Energy Mining 2010”, Banja Junaković, Apatin, Serbia, Septembar 8-11, 2010
- [6] ***, Уредба о граничним вредностима емисије загађујућих материја у ваздуху (Сл. гласник РС, број 71/2010), 4. октобар 2010.
- [7] Dakić, D., Oka S., Grubor B., Investigation of Incipient Fluidization and Expansion of a Course Particle Bed (in Russian), (Eds. S. S. Kutatéladze, S. Oka) Transport Processes in High-Temperature and Chemically Reacting Flows, Siberian Branch of USSR Academy of Sciences, Novosibirsk, USSR, 1982, 76-90
- [8] Barker, D., Beacham, B., Development and Commercial Application of Liquid-Fuelled Fluidised Combustion, *Proceedings*, Institute of Fuel Conference Fluidized Combustion: Systems and Applications, London, UK, 1980, p.IA-3-1

- [9] Okasha, F. M., El-Emam, S. H., Mostafa, H. K, The Fluidized Bed Combustion of a Heavy Liquid Fuel, *Experimental Thermal and Fluid Science*, 27 (2003), 4, 473-480
- [10] Miccio, F., et al., Dispersion and Combustion of a Bitumen-Based Emulsion in Bubbling Fluidized Bed, *Proceedings on CD*, 15th International Conference on Fluidized Bed Combustion, (Ed. R. B. Reuther), ASME, FBC99-0141, 1999, 1354-1376
- [11] Anthony, E. J., Lu, D. Y., Zhang, J. Q., Combustion Characteristics of Heavy Liquid Fuels in a Bubbling Fluidized Bed, *Journal of Energy Resources Technology*, 124, (2002), 1, 40-47
- [12] North, B., Eleftheriades, C., Engelbrecht, A., Destruction of a High Sulphur Pitch in an Industrial Scale Fluidized Bed Combustor, *Proceedings on CD*, 15th International Conference on Fluidized Bed Combustion (Ed. R. B. Reuther), ASME, FBC99-0017, 1991
- [13] Miccio, F., Scala, F., Chirone, R., Fluidized Bed Combustion of a Biomass Fuel: Comparison between Pilot Scale Experiments and Model Simulations, *Journal of Heat Transfer*, 127(2005), 2, 117-123
- [14] Patumsawad, S., Cliffe, K.R., Experimental Study on Fluidised Bed Combustion of High Moisture Municipal Solid Waste?, *Energy Conversion and Management*, 43 (2002), 17, 2329-2340
- [15] Lai, W. C., Krieger-Brockett, B., Volatiles Release Rates and Temperatures during Large Particle Refuse Derived Fuel-Municipal Solid Waste Devolatilization, *Combust Sci and Technol*, 85 (1992), 1-6, 133-149
- [17] Suksankraisorn, K., Patumsawad, S., Fungtammasan, B., Combustion Studies of Highmois-ture Content Waste in a Fluidised Bed, *Waste Management*, 23 (2003), 5, 433-439

Abstract

Vertical Temperature Profile in the Fluidized Bed Installation for Combustion of Waste Fuels

by

Milica R. MLADENOVIC^{1}, Milijana J. PAPRIKA¹, Dragoljub V. DAKIĆ²
Stevan Dj. NEMODA¹, Aleksandar M. ERIĆ¹, and Mirko S. KOMATINA³*

¹**Laboratory for Thermal Engineering and Energy,
Vinča Institute of Nuclear Sciences, University of Belgrade, Belgrade, Serbia,**

²**Innovation Center, Faculty of Mechanical
Engineering, University of Belgrade, Belgrade, Serbia**

³**Faculty of Mechanical Engineering, University of Belgrade, Belgrade, Serbia**

This paper is a contribution to the investigation of combustion of waste liquid and solid fuels. Waste liquid fuels include sediment from crude-fuel oil tanks or used edible/mineral oils, the disposal of which is most often linked to environmental issues. In addition, these substances, due to high ballast content, non-uniform composition and density, cannot be burnt in conventional combustors, hence the technology of thermal disintegration in the fluidized bed (FB) imposes as a solution, which enables the combustion of fuels of most distinct types and non-uniform compositions. Waste solid fuels refer to coals from off-balance reserves (fine-grained, with high ballast and sulfur contents and low heating values) which should be used more rationally, implying the application of the FB combustion (FBC) as well. The fact that FB boilers can burn fuels with 85% of inert materials, with effective retention of SO₂ by adding limestone into the furnace, and with lower NO_x emissions, gives FBC significant advantages, compared to other combustion technologies.

Description of the experimental FBC facility is given, as well as experimental results, with the focus on the furnace temperature distribution, in order to determine the location of the intensive combustion zone as a function of fuel properties.

Key words: *waste liquid fuels, low-grade coal, fluidized bed*

* Corresponding author; e-mail: mica@vinca.rs